

# Некоторые задачи анализа сингулярного спектра

Киселев Михаил Михайлович, гр. 20.Б04-мм

Санкт-Петербургский Государственный Университет  
Математико-механический факультет  
Кафедра статистического моделирования

Научный руководитель — к. ф.-м. н., доцент **В. В. Некруткин**  
Рецензент — Разработчик, Onfido Ltd, Великобритания **Е. В. Иванова**



Санкт-Петербург  
2024 г.

# Общая постановка задачи выделения сигнала из суммы сигнала и помехи методом Singular Spectrum Analysis

**Дано:**

$$\begin{cases} F_N = (f_0, \dots, f_{N-1}) - \text{«сигнал»}, \\ E_N = (e_0, \dots, e_{N-1}) - \text{«помеха»}, \\ X_N = (f_0 + \delta e_0, \dots, f_{N-1} + \delta e_{N-1}) - \text{наблюдаемый временной ряд}, \end{cases}$$

$\delta$  — параметр возмущения.

$$\left( \text{ЛРФ: } f_n = \sum_{k=1}^d a_k f_{n-k}, \quad n \geq d \right)$$

**Задача SSA:** построить приближение  $\tilde{F}_N$  для  $F_N$ .

- ❶  $L$  — **длина окна** ( $1 < L < N$ ),
- ❷  $X_i = (x_i, \dots, x_{i+L-1})^T$ ,  $0 \leq i < K := N - L + 1$ .

**Траекторная матрица** ряда  $X_N$ :

$$\mathbf{H}(\delta) = [X_1 : \dots : X_K] = \begin{pmatrix} x_0 & x_1 & \dots & x_{K-1} \\ x_1 & x_2 & \dots & x_K \\ \vdots & \vdots & \ddots & \vdots \\ x_{L-1} & x_L & \dots & x_{N-1} \end{pmatrix}.$$

$\mathbf{H} = \mathbf{H}_N$ ,  $\mathbf{E} = \mathbf{E}_N$  — траекторные матрицы рядов  $F_N$  и  $E_N \implies \mathbf{H}(\delta) := \mathbf{H} + \delta \mathbf{E}$ .  
После **SVD**:

$$\tilde{\mathbf{H}}(\delta) = \sum_{i=1}^d \lambda_i U_i V_i^T, \text{ где}$$

- $d := \max\{i : \lambda_i > 0\}$ .
- $\lambda_1, \dots, \lambda_L$  — собственные числа  $\mathbf{H}(\delta)\mathbf{H}(\delta)^T$ ,  $\lambda_i \geq \lambda_{i+1}$ ,  
 $U_1, \dots, U_L$  — соответствующие собственные вектора.
- $V_i := \mathbf{H}(\delta)^T U_i / \sqrt{\lambda_i}$ ,  $i = 1, \dots, d$ .

### 1 Диагональное усреднение

$$\hat{\mathbf{H}}(\delta) = S\tilde{\mathbf{H}}(\delta), \text{ то есть } \forall i + j = \text{const} \quad \left(\hat{\mathbf{H}}(\delta)\right)_{ij} := \overline{\left(\tilde{\mathbf{H}}(\delta)\right)_{ij}}$$

### 2 Восстановление сигнала

$$\tilde{\mathbf{F}}_N(\delta) = (f_0(\delta), \dots, f_{N-1}(\delta)) \text{ — приближение } \mathbf{F}_N.$$

Обозначим:

$$R_N(\delta) := (r_0(\delta), \dots, r_{N-1}(\delta)), \quad r_i(\delta) = f_i(\delta) - \hat{f}_i \text{ — ряд ошибок восстановления,}$$

$$\Delta_\delta(\mathbf{H}) = \hat{\mathbf{H}}(\delta) - \mathbf{H} \text{ — матрица ошибок восстановления.}$$

В ряде работ<sup>1</sup> анализ ошибок восстановления проводится в рамках их линейного приближения по параметру возмущения.

Задача ВКР состоит в численной проверке этого подхода для ряда сигналов и помех при больших длинах ряда  $N$ .

---

<sup>1</sup>Например Senov M. *Robust versions of the SSA method*. — 2022

$$\mathbf{H}(\delta) = \mathbf{H} + \delta \mathbf{E}, \quad \tilde{\mathbf{H}}(\delta) - \mathbf{H}?$$

$\mathbb{U}_0^\perp$  — линейное пространство столбцов  $\mathbf{H}$ .  $\mathbf{P}_0$  — ортогональный проектор на  $\mathbb{U}_0$  и  $\mathbf{P}_0^\perp = \mathbf{I} - \mathbf{P}_0$  — ортогональный проектор на  $\mathbb{U}_0^\perp$ .

$$\mathbf{P}_0^\perp = \sum_{i=1}^d \mathbf{U}_i \mathbf{U}_i^\top.$$

$\mathbf{Q}_0^\perp$  ортогональный проектор на пространство столбцов матрицы  $\mathbf{H}^\top$ ,

$$\mathbf{Q}_0^\perp = \sum_{i=1}^d \mathbf{V}_i \mathbf{V}_i^\top.$$

$$\mathbf{A}(\delta) = \mathbf{H}(\delta) \mathbf{H}(\delta)^\top = \mathbf{A} + \delta \mathbf{A}^{(1)} + \delta^2 \mathbf{A}^{(2)} = \mathbf{A} + \mathbf{B}(\delta), \text{ где}$$

- $\mathbf{A} := \mathbf{H} \mathbf{H}^\top$ ,
- $\mathbf{A}^{(1)} = \mathbf{H} \mathbf{E}^\top + \mathbf{E} \mathbf{H}^\top$  и  $\mathbf{A}^{(2)} = \mathbf{E} \mathbf{E}^\top$ ,
- $\mathbf{B}(\delta) := \delta \mathbf{A}^{(1)} + \delta^2 \mathbf{A}^{(2)}$ .

$$\mathbf{B}(\delta) = \delta \mathbf{A}^{(1)} + \delta^2 \mathbf{A}^{(2)}, \quad \mu_{\min} := \min\{\mu \in \Sigma : \mu > 0\}, \quad \mathbf{S}_0^{(0)} = -\mathbf{P}_0 \text{ и } \mathbf{S}_0^{(k)} = \mathbf{S}_0^k.$$

Теорема (Nekrutkin V., 2010)

Пусть  $\delta_0 > 0$  и  $\|\mathbf{B}(\delta)\| < \mu_{\min} / 2$  для всех  $\delta \in (-\delta_0, \delta_0)$ . Тогда

$$\mathbf{P}_0^\perp(\delta) - \mathbf{P}_0^\perp = \sum_{n=1}^{\infty} \delta^n \mathbf{V}_0^{(n)}, \quad (1)$$

где

$$\mathbf{V}_0^{(n)} = \sum_{p=\lceil n/2 \rceil}^n (-1)^p \sum_{\substack{s_1+\dots+s_p=n, s_i=1,2 \\ l_1+\dots+l_{p+1}=p, l_j \geq 0}} \mathbf{V}_0^{(n)}(s, \ell),$$

$\mathbf{s} = (s_1, \dots, s_p)$ ,  $\ell = (l_1, \dots, l_{p+1})$ , и

$$\mathbf{V}_0^{(n)}(s, \ell) = \mathbf{S}_0^{(l_1)} \mathbf{A}^{(s_1)} \mathbf{S}_0^{(l_2)} \dots \mathbf{A}^{(s_p)} \mathbf{S}_0^{(l_{p+1})},$$

ряд в правой части (1) сходится по спектральной норме.

$$\mathbf{P}_0^\perp(\delta) - \mathbf{P}_0^\perp = \sum_{n=1}^{\infty} \delta^n \mathbf{V}_0^{(n)} \text{ из теоремы (Nekrutkin V., 2010).}$$

По следствию теоремы,

$$\mathbf{V}_0^{(1)} = \mathbf{P}_0 \mathbf{A}^{(1)} \mathbf{S}_0 + \mathbf{S}_0 \mathbf{A}^{(1)} \mathbf{P}_0 = \mathbf{P}_0 \mathbf{E} \mathbf{H}^\top \mathbf{S}_0 + \mathbf{S}_0 \mathbf{H} \mathbf{E}^\top \mathbf{P}_0$$

①

$$\tilde{\mathbf{H}}(\delta) - \mathbf{H} = (\mathbf{P}_0^\perp(\delta) - \mathbf{P}_0^\perp) \mathbf{H}(\delta) + \delta \mathbf{P}_0^\perp \mathbf{E}$$

②

$$\mathbf{H}^\top \mathbf{S}_0 \mathbf{H} = \mathbf{Q}_0^\perp$$

Отсюда, подставляя в (1) получим, что линейный по параметру возмущения член разности  $\tilde{\mathbf{H}}(\delta) - \mathbf{H}$  имеет вид (см., например, Zenkova N., Nekrutkin V., 2022).

$$\delta \left( \mathbf{P}_0^\perp \mathbf{E} + \mathbf{E} \mathbf{Q}_0^\perp - \mathbf{P}_0^\perp \mathbf{E} \mathbf{Q}_0^\perp \right). \quad (2)$$



$N$  — длина ряда,  $L = \lfloor N/2 \rfloor$  — длина окна.

$$\max_{n=1,\dots,N} |r_n(\delta)| \text{ — ошибки восстановления SSA,} \quad (3)$$

$$\max_{i=1,\dots,N} \left| \left[ S(\mathbf{P}_0 \mathbf{E} + \mathbf{E} \mathbf{Q}_0^\perp - \mathbf{P}_0^\perp \mathbf{E} \mathbf{Q}_0^\perp) \right]_i \right| \text{ — полное линейное приближение,} \quad (4)$$

$$\max_{i=1,\dots,N} \left| \left[ S(\mathbf{P}_0 \mathbf{E} + \mathbf{E} \mathbf{Q}_0^\perp) \right]_i \right| \text{ — неполное линейное приближение.} \quad (5)$$

## Сигналы:

- 1 Константный —  $f_n \equiv 1, d = 1,$
- 2 Линейный —  $f_n = n, d = 2,$
- 3 Синусоида —  $f_n = \cos(2\pi\omega n + \gamma), d = 2,$
- 4 Растущий экспоненциальный сигнал<sup>2</sup> —  $f_n = a^n, a > 1, d = 1.$

## Помехи:

- 1 Единичный выброс —  $e_n = 1$  при  $n = n_0$ , и  $e_n = 0 \forall n \neq n_0.$
- 2 Синусоида —  $e_n = \cos(2\pi/\sqrt{99}n + \pi),$
- 3 Абсолютно сходящийся ряд —  $e_n = 0.99^n, 0 < a < 1,$
- 4 Гауссовский белый шум —  $e_n \in N(0, 1),$
- 5 Равномерный белый шум —  $e_n \in U(-\sqrt{6}, \sqrt{6}).$

Для случайных помех:  $\max_{n=1,\dots,N} E|r_n(\delta)|$  и  $\max_{n=1,\dots,N} D|r_n(\delta)|, \implies$

$$\max_{n=1,\dots,N} \hat{E}|r_n(\delta)| = \max_{n=1,\dots,N} \overline{|r_n(\delta)|}, \text{ где } \overline{|r_n(\delta)|} = \frac{1}{100} \sum_{j=1}^{100} |r_n^{(j)}(\delta)|,$$

$$\max_{n=1,\dots,N} \hat{D}|r_n(\delta)| = \max_{n=1,\dots,N} \frac{1}{100} \sum_{j=1}^{100} (|r_n^{(j)}(\delta)| - \overline{|r_n(\delta)|})^2$$

---

<sup>2</sup>с или без дискретизации

$$f_n = n. \quad (d = 2).$$

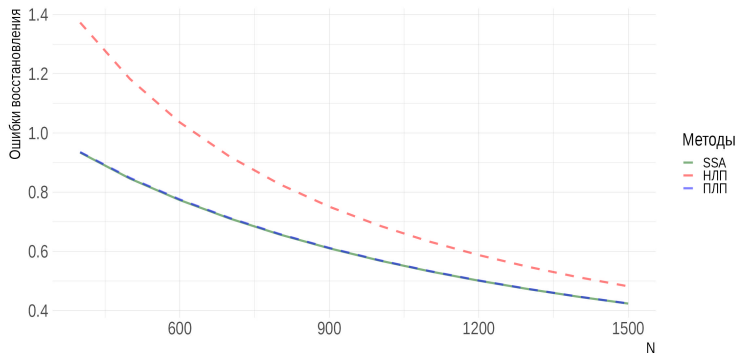


Рис.: Помеха —  $e_n = 1$  при  $n = 50$ , и  $e_n = 0 \forall n \neq 50$ ,  $\delta = 5$ .

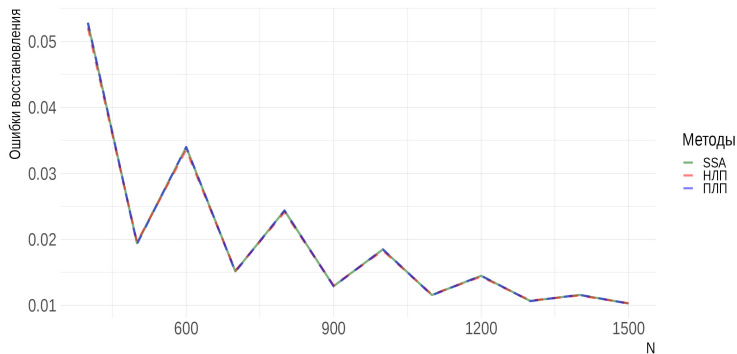


Рис.: Помеха —  $e_n = \cos(2\pi/\sqrt{99}n + \pi)$ ,  $\delta = 0.3$ .

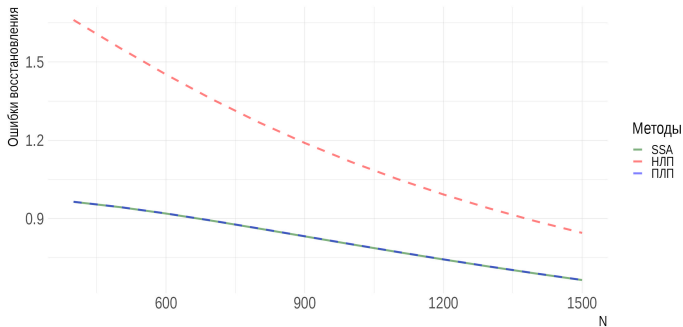


Рис.: Помеха —  $e_n = 0.99^n$ ,  $\delta = 1$ .

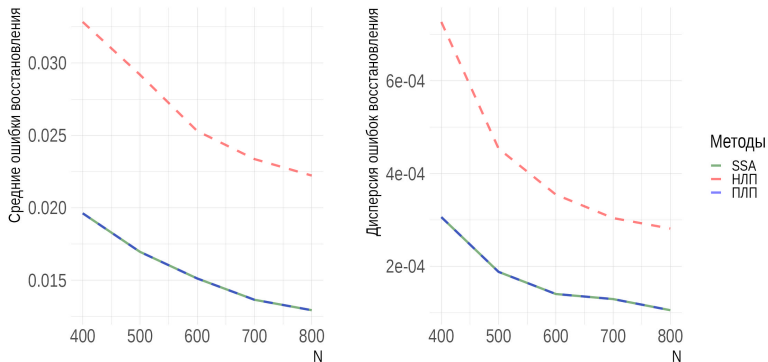


Рис.:  $\max \hat{E}|r_n(\delta)|$  и  $\max \hat{D}|r_n(\delta)|$ . Помеха —  $e_n \in N(0, 1)$ ,  $\delta = 0.2$ .

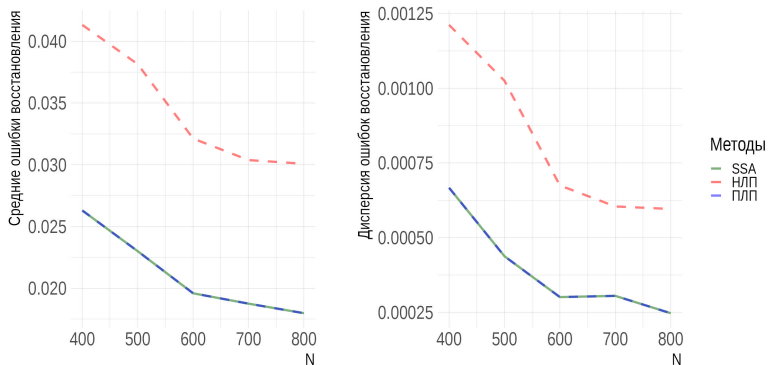


Рис.:  $\max \hat{E}|r_n(\delta)|$  и  $\max \hat{D}|r_n(\delta)|$ . Помеха —  $e_n \in U(-\sqrt{6}, \sqrt{6})$ ,  $\delta = 0.2$ .

$$f_n = \cos(2\pi/\sqrt{6}). \quad (d = 2).$$

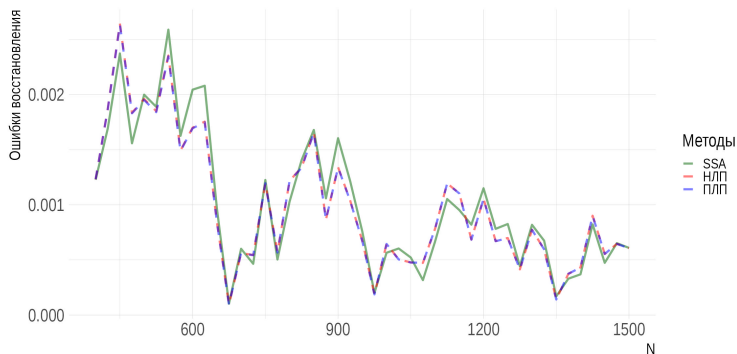


Рис.: Помеха:  $e_n = \cos(2\pi/\sqrt{99}n + \pi)$ ,  $\delta = 0.15$ .



$$f_n = 1.011^n. (d = 1)$$

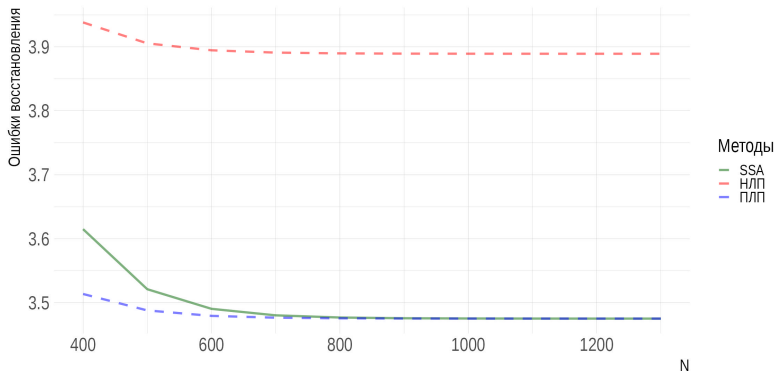


Рис.: Помеха —  $e_n = 1$  при  $n = N - 10$ , и  $e_n = 0 \forall n \neq N - 10$ ,  $\delta = 100$ .

# Растущий экспоненциальный сигнал. Дискретизация. Единичный выброс в конце ряда

$f_n = a^{(n-1)T/N}$ , где  $T = \text{const}$ ,  $N$  — длина ряда. ( $a = 1.05$ ,  $T = 10$ ,  $d = 1$ )

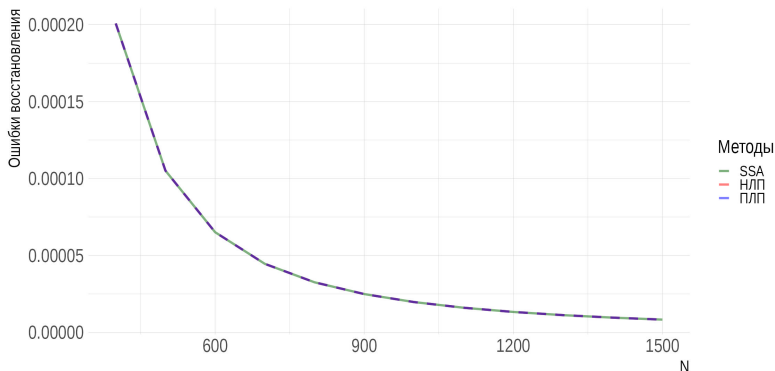


Рис.: Помеха —  $e_n = 1$  при  $n = N - 10$ , и  $e_n = 0 \forall n \neq N - 10$ ,  $\delta = 50$ .

# Растущий экспоненциальный сигнал. Дискретизация. Синусоидная помеха

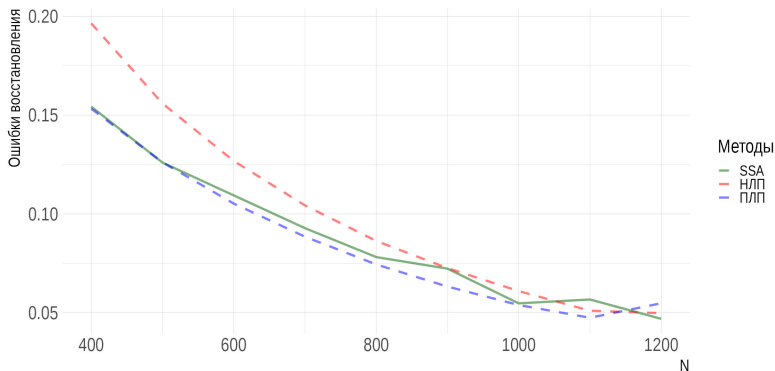


Рис.: Помеха —  $e_n = \cos(2\pi/\sqrt{99}n + \pi)$ ,  $\delta = 0.15$ .

# Растущий экспоненциальный сигнал. Дискретизация. Гауссовский белый шум

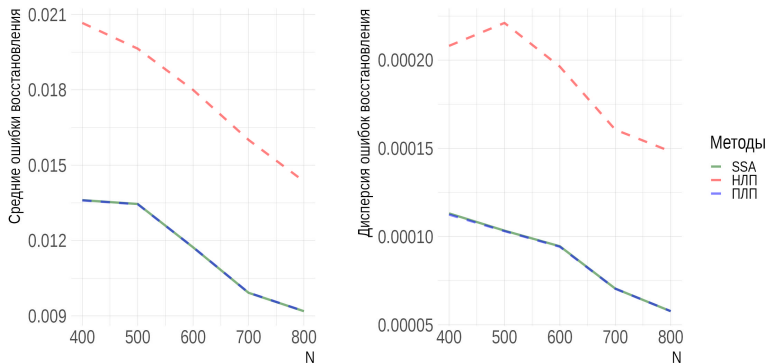


Рис.:  $\max \hat{E}|r_n(\delta)|$  и  $\max \hat{D}|r_n(\delta)|$ . Помеха —  $e_n \in N(0, 1)$ ,  $\delta = 0.1$ .

- Проведены численные эксперименты для сравнения ошибок восстановления метода SSA с его линейной аппроксимацией при больших длинах ряда.
- Во всех экспериментах при больших  $N$  полное линейное приближение очень хорошо аппроксимирует ошибки восстановления, при этом даже при отсутствии сходимости ряда  $R_N(\delta)$  к нулю.
- Полная линейная аппроксимация даёт лучшие приближения ряда ошибок восстановления относительно неполного варианта.
- При равномерном или гауссовском белом шуме полное линейное приближение позволяет получить хорошие оценки ошибок восстановления в терминах математического ожидания и дисперсии.
- Рассмотрен неполный член линейного приближения, который дает близкие аппроксимации с ПЛП в случае, если есть априорная информация, что помеха имеет синусоидную форму.
- Эксперименты выполнены на языке R с пакетом RSSA, исходные файлы для воспроизведения результатов доступны по ссылке <https://doi.org/10.5281/zenodo.11373477>.